

ЭКСПЕРИМЕНТАЛЬНОЕ ИССЛЕДОВАНИЕ ИЗЛУЧЕНИЯ ЭЛЕКТРОННЫХ СГУСТКОВ ВБЛИЗИ НЕОДНОРОДНОСТЕЙ

B. B. Брагинский, E. P. Мустель

Приведены результаты исследования некоторых вариантов умножителей частоты, в которых используется „переходное“ излучение электронных сгустков вблизи неоднородностей.

Умножение частоты является одним из возможных методов, позволяющих освоить коротковолновую часть диапазона СВЧ (длины волн короче $3\frac{1}{2}$ мм). Однако при использовании обычных в сантиметровом диапазоне методов умножения возникает целый ряд технических трудностей, связанных, в частности, с такими „малыми параметрами“, как зазор между сетками, если преобразование энергии гармоник электронного потока в электромагнитное излучение производится с помощью резонатора, или шага спирали (гребенки), если преобразование производится с помощью замедляющей системы.

В последнее время появились предложения использовать в диапазоне СВЧ излучение электронных сгустков вблизи неоднородностей [1,2] и переходное излучение [2,3,4].

Заметим, что эффективность устройств, использующих подобные методы генерации, можно характеризовать (в приближении заданных токов) величиной сопротивления излучения $R_{изл} = w/I^2$, где w — излучаемая мощность, I — амплитуда тока соответствующей частоты.

Непосредственное использование переходного излучения сравнительно мало эффективно. Если для обычных тороидальных резонаторов сопротивление излучения составляет $10^2 \div 10^3$ ом при полосе 1%, то для переходного излучения при скорости электронов $0,1$ с (т. е. энергии 3 кэв) сопротивление излучения — $0,25$ ом при практически неограниченной полосе.

Поэтому представляет интерес создание такого устройства для преобразования энергии электронного потока в энергию электромагнитного излучения, которое сохраняло, хотя бы частично, „простоту“ и широкополосность переходного излучения и обладало бы заметно большим сопротивлением излучения.

В настоящей работе приведены результаты исследований некоторых из возможных вариантов такого устройства. Измерения проводились на моделях в диапазонах $\lambda = 3$ см и $\lambda = 10$ см.

На рис. 1 изображена одна из подобных систем. На небольшой металлический диск, укрепленный на стержне, оседает электронный поток, который заранее промодулирован по скорости напряжением от генератора задающей частоты. Ускоряющее напряжение и размеры трубки подбирались таким образом, чтобы в момент оседания на диск амплитуда выбранной гармоники электронного потока была бы наибольшей. При оседании электронного потока возникло излучение типа переходного. Таким образом, с технической точки зрения такая система представляет собой электронный умножитель частоты. Производившиеся измерения сводились к определению интенсивности излучения и сопротивления излучения на частоте,

соответствующей одной из гармоник электронного потока. Измерения показали, что основная часть излученной энергии (около 80%) направлена вдоль провода с узкой конусообразной диаграммой направленности, около 10% излучения составляет поверхностная однопроводная волна, и примерно 10% излучается перпендикулярно стержню.

Необходимо отметить, что во всех испытанных лампах наблюдалась квадратичная зависимость мощности излучения от тока, так что сопротивление излучения $R_{изл}$ полностью характеризовало систему.

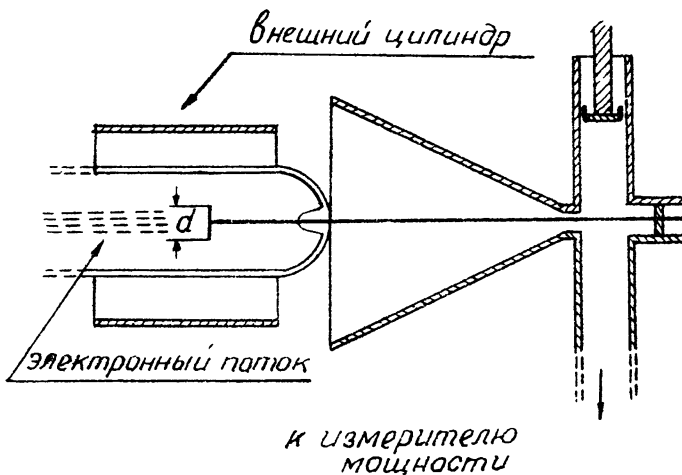


Рис. 1.

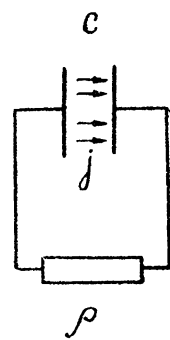


Рис. 2.

На таблице указаны величины $R_{изл}$ и параметры некоторых из опробованных ламп. Значения $R_{изл}$ относятся к мощности, измеренной с помощью конусообразного рупора, переходящего в стандартный волновод. Как видно из таблицы, величины измеренного сопротивления излучения больше, чем теоретическое значение для переходного излучения ($0,25 \text{ ом}$ при $U_{ус} \approx 3 \text{ кВ}$). Добавление внешнего цилиндра, коаксиального со стержнем, позволяет повысить сопротивление излучения в $2 \div 2,5$ раза (см. таблицу и рис. 1)..

Таблица 1

№№ ламп	$R_{изл}$ (ом)	d (мм)	$2a$ (мм)	λ (см)	номер гармоники	U (кВ)	$R_{изл}$ с цилиндром (ом)	$R_{изл}$ коаксиала (ом)
1	10,0	3,0	1,0	10	6	2,0	—	7,4
2	1,2	3,5	1,0	3	4	3,0	2,5—3	3,1
3	0,3	6,0	1,0	3	4	2,5	0,6—0,8	2,0
3	0,5	6,0	1,0	3	4	6,0	1 — 1,3	3,0
3	5,0	6,0	1,0	10	4	2,0	—	—
4	0,6	6,0	0,3	3	4	3,0	—	—
4	0,9	6,0	0,3	3	4	4,5	—	—
4	7,6	6,0	0,3	10	4	2,0	—	—

Увеличение сопротивления излучения у подобных систем по сравнению с „чистым“ переходным излучением качественно можно объяснить с помощью простой эквивалентной схемы, изображенной

на рис. 2. На этой схеме C — емкость диска, ρ_0 — сопротивление (импеданс) провода, на котором закреплен диск *:

$$\rho_0 \simeq 60 \left| \ln \frac{\gamma k a}{2} \right|_2,$$

где γ — постоянная Эйлера, a — радиус провода, $k = \frac{2\pi}{\lambda}$. Сопротивление излучения в такой схеме, равное $\left[\frac{\sin \Theta}{\Theta} \right]^2 \frac{\rho_0}{1 + \rho_0^2 \omega^2 C^2}$, учитывает лишь изменение потенциала диска при подходе и оседании электронных сгустков, но не учитывает переходного излучения, которое останется и при увеличении диаметра диска. Заметим, что за изменение потенциала диска ответственны конвекционные заряды, находящиеся в непосредственной близости от диска, на расстоянии порядка диаметра d . Величиной d определяется, таким образом, „пролетная зона“ (пролетный угол Θ) при возбуждении провода.

Из соотношения для сопротивления излучения в приведенной эквивалентной схеме следует, что увеличение $R_{изл}$ возможно при уменьшении размеров диска ($\frac{\sin \Theta}{\Theta} \rightarrow 1$, $C \rightarrow 0$) и при уменьшении диаметра провода (увеличении ρ_0). При размерах диска, близких к размерам зазора между сетками резонатора кластрона, рассчитанного на соответствующую длину волны, и при $ka \approx 0,2$ сопротивление излучения — порядка 10^2 ом. Это хорошо видно на лампе № 1 ($d = 3$ мм, $\lambda = 8,5$ см), для которой $R_{изл} = 10$ ом.

Сходные значения сопротивления излучения можно получить при точном решении задачи о возбуждении электронным потоком $j = j_0 \delta(z) \delta(\Theta) e^{i\omega t - k_0 r}$ коаксиального кабеля с диаметром внутреннего провода, равным диаметру диска (здесь δ — дельта-функция).

В случае, когда диаметр оболочки коаксиала $D \gg d$, расчет дает следующее выражение для сопротивления излучения:

$$R_{изл} = \frac{1}{16\pi} \sqrt{\frac{\rho_0}{\varepsilon_0}} \frac{1}{\ln \frac{D}{d}} \left\{ \left[\text{si}(k_0 D) - \text{si}(k_0 d) \right]^2 + \left[\text{ci}(k_0 D) - \text{ci}(k_0 d) \right]^2 \right\}.$$

На таблице 1 в крайнем правом столбце приведены значения сопротивления излучения, подсчитанные по приведенной формуле для коаксиала с диаметром провода, равным диаметру диска соответствующей лампы.

Таким образом, получение больших значений $R_{изл}$ в таких системах достигается (так же как и в тороидальных резонаторах) за счет введения „технических малых параметров“ — диаметра диска и толщины провода. Однако приведенная система обладает двумя существенными достоинствами: а) в зависимости от технических возможностей можно просто варьировать величину сопротивления излучения, которая при больших размерах диска и стержня не будет ниже 0,25 ом (3 кв) для переходного излучения; б) система весьма широкополосна. О последнем свидетельствует тот факт, что в пределах точности наших измерений (20%) не было обнаружено изменение $R_{изл}$ при изменении основной частоты в пределах 10% при работе в диапазоне $\lambda = 3$ см и 30% — в диапазоне $\lambda = 10$ см.

На рис. 3 изображен другой вид исследованных систем. В этих лампах электронный поток оседает на провод, перпендикулярный к направлению скорости электронов. Измерения показали, что и в

* Это сопротивление аналогично встречающемуся в задачах о возбуждении поверхностных однопроводниковых волн [5].

в этом случае излучение направлено вдоль провода и может быть собрано в коаксиальный кабель с помощью конусообразного рупора. На волне $\lambda=10 \text{ см}$ при диаметре провода $1,5 \text{ мм}$ $U_{\text{уск}}=2,4 \text{ кв}$, сопротивление излучения $R_{\text{изл}}$ составляет 5 ом . Вместе с тем, при увеличении числа проводов, на которые оседает электронный поток, сопротивление излучения (по отношению к суммарной мощности) оставалось неизменным, а ток распределялся почти равномерно по всем проводам.

Если видоизменить конструкцию этой лампы, введя малый зазор при возбуждении провода (рис. 4), то сопротивление излучения заметно возрастает ($R_{\text{изл}}=20 \text{ ом}$ при зазоре 4 мм , $U_{\text{уск}}=1600 \text{ в}$ и $\lambda=10 \text{ см}$).

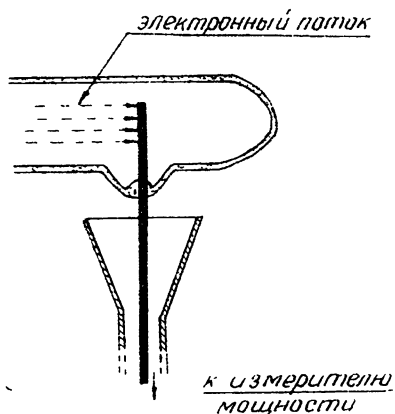


Рис. 3.

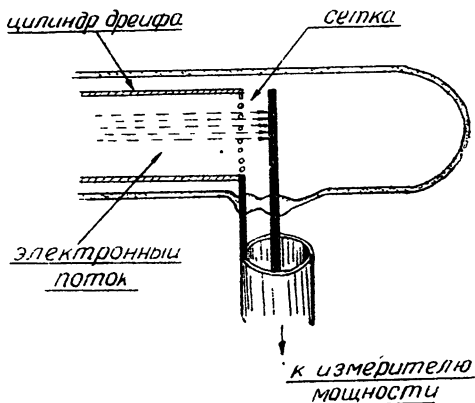


Рис. 4.

В заключение нужно отметить, что приведенные устройства не представляют собой готовых разработанных систем для преобразования энергии модулированного электронного потока в электромагнитное излучение. Цель этого сообщения — обратить внимание на возможность использования при конструкциях разработках широкополосных электронных умножителей подобных систем, которые, возможно, обладают преимуществами перед другими.

Авторы считают своим долгом выразить благодарность Р. В. Хохлову за помощь и советы в работе.

ЛИТЕРАТУРА

1. Г. А. Аскарьян, ЖЭТФ, 29, 3, 388 (1955).
2. В. Б. Брагинский, Радиотехника и электроника, 1, 2, 225 (1956).
3. В. Л. Гинзбург и И. М. Франк, ЖЭТФ, 16, 1, 15 (1946).
4. Г. А. Аскарьян, ЖЭТФ, 30, 3, (1956).
5. В. В. Владимирский, Изв. АН СССР, сер. физ., 8, 3, 139 (1944).

Московский государственный
университет

Поступила в редакцию
8 января 1958 г.